

基于直觉模糊熵的粒子群模拟退火算法

周创明¹, 苏丁为¹, 于明秋^{2✉}

(1. 空军工程大学防空反导学院, 西安, 710051; 2. 93357 部队, 辽宁鞍山, 114000)

摘要 针对智能算法在解决大规模 0-1 背包问题时易陷入局部最优解、收敛速度慢的问题, 提出一种基于直觉模糊熵的粒子群-模拟退火算法(IFEPSO-SA)。采用交换操作和模拟退火机制对粒子群算法中的局部最优解二次优化; 然后, 以种群直觉模糊熵(IFE)为测度, 自适应改变惯性权重, 并对种群进行变异操作。测试结果表明, IFEPSO-SA 在解决大规模 0-1 背包问题时有较好的求解质量; 仿真实验结果表明, IFEPSO-SA 与基于直接模糊熵的粒子群算法(IFEPSO)相比, 熵值波动较小, 反映出 IFEPSO-SA 有更好的局部搜索能力, 并且 IFEPSO-SA 在算法收敛速度和求解质量方面都优于 IFEPSO 以及经典的粒子群算法和模拟退火算法。

关键词 直觉模糊熵; 模拟退火机制; 粒子群算法

DOI 10.3969/j.issn.1009-3516.2018.03.016

中图分类号 TP301 **文献标志码** A **文章编号** 1009-3516(2018)03-0088-07

A Hybrid Algorithm of Particle Swarm Optimization and Simulated Annealing Based on Intuitionistic Fuzzy Entropy

ZHOU Chuangming¹, SU Dingwei¹, YU Mingqiu^{2✉}

(1. Air and Missile Defense College, Air Force Engineering University, Xi'an 710051, China;

2. Unit 93357, Anshan 114000, Liaoning, China)

Abstract: Aimed at the problem that the local optimization is easily caught in and the convergence rate is slow, this paper proposes a hybrid algorithm of particle swarm optimization and simulated annealing based on intuitionistic fuzzy entropy (IFEPSO-SA) in solving large-scale 0-1 knapsack problems by using intelligence algorithm. Exchange operation and simulated annealing mechanism are applied to the local secondary optimization. Then, a metric based on intuitionistic fuzzy entropy (IFE) of the population is used to change inertia weight adaptively, and particles make the mutation based on the metric. The testing result shows that IFEPSO-SA is good in solution quality in solving large-scale 0-1 knapsack problems. And the simulation experiment results show that entropy fluctuation of IFEPSO-SA is comparatively stable compared with the intuitionistic fuzzy entropy based particle swarm optimization (IFEPSO), reflecting a yet higher local search ability. Meanwhile, IFEPSO-SA is superior to IFEPSO and classical particle swarm optimization and simulated annealing in terms of convergence speed and solution quality.

Key words: intuitionistic fuzzy entropy; simulated annealing mechanism; particle swarm optimization

收稿日期: 2017-03-09

作者简介: 周创明(1967—), 男, 湖南益阳人, 副教授, 主要从事智能信息处理、信息安全研究。E-mail: 179820572@qq.com

通信作者: 于明秋(1992—), 男, 河北沧州人, 硕士生, 主要从事计算机网络与信息安全研究。E-mail: 15511743667@163.com

引用格式: 周创明, 苏丁为, 于明秋. 基于直觉模糊熵的粒子群模拟退火算法 [J]. 空军工程大学学报(自然科学版), 2018, 19(3): 88-94.
ZHOU Chuangming, SU Dingwei, YU Mingqiu. A Hybrid Algorithm of Particle Swarm Optimization and Simulated Annealing Based on Intuitionistic Fuzzy Entropy [J]. Journal of Air Force Engineering University (Natural Science Edition), 2018, 19(3): 88-94.

0-1背包问题是组合约束优化中经典的 NP-hard 问题^[1-2],传统算法求解此问题时,随着问题规模的增加,算法所需时间成指数增长。智能算法的发展为解决这一问题提供了新的思路,进行的尝试有遗传算法^[3]、粒子群算法^[4]、蚁群算法^[5]及其混合算法^[6]等。

粒子群算法^[7-8]是 Kennedy 等人提出的一种群体智能算法,通过群体间的协同竞争不断进化搜索得到最优解。模拟退火算法(Simulated Annealing, SA)则采用 Metropolis 接受准则,通过控制温度等参数来模拟固体退火过程,对于局部搜索算法的拓展有着一定的优势。智能算法的特点是所需参数少,实现简单且收敛速度快,因此被广泛的应用于各种优化问题。文献[4]提出了基于直觉模糊熵的离散粒子群算法,在求解小规模背包问题方面有较好的寻优能力;文献[9]则将模拟退火与粒子群算法结合,提高了算法的局部搜索能力,能较好地求解大规模的组合优化问题。

本文引入直觉模糊熵和模拟退火机制,与经典粒子群算法进行优势互补,提出了一种基于直觉模糊熵的粒子群-模拟退火算法(IFEPSO-SA)。

1 背包模型与直觉模糊熵

1.1 经典 0-1 背包数学模型

经典的 0-1 背包问题描述为:给定一个背包和 n 种物品,其中背包的容量为 C ,第 i 种物品的质量为 c_i ,价值为 p_i ,如何通过物品选择,使得装入背包中的物品总价值最大。其数学模型如下:

$$\begin{aligned} f &= \max \sum_{i=1}^n p_i x_i \\ \text{s. t. } & \sum_{i=1}^n c_i x_i \leq C, i = 1, 2, \dots, n; \\ & x_i = 0, 1 \end{aligned} \quad (1)$$

1.2 直觉模糊熵

模糊熵^[10]是在模糊集的基础上提出来的,用以描述事物的模糊状态。直觉模糊集是模糊集的进一步细化,增加了非隶属度和犹豫度,可以更加细腻地描述事件的本质。因而直觉模糊熵^[11-12]与模糊熵相比,在描述事物模糊状态的作用上更加优越。将直觉模糊熵引入粒子群算法,根据熵值的变化控制种群的多样性和收敛程度,能有效避免算法陷入局部收敛。

定义 1 对种群(pop)所有粒子的适应度值进行归一化操作,使每个粒子适应度值都属于区间 $[0, 1]$ 。

1]。而后将区间 $[0, 1]$ 进行 N (种群规模)等分,计算适应度值在 N 个子区间中粒子个数,对个数大于 1 的子区间单独作为一个集合 $P_i, i = 1, 2, \dots, k$ (k 为个数大于 1 的子区间个数),对个数为 1 的子区间整合为一个集合 P_{k+1} ,因此可满足 $\forall i, j \in \{1, 2, \dots, k, k+1\}$,都有 $P_i \cap P_j = \emptyset, \bigcup_{i=1}^{k+1} P_i = pop$,根据以上条件可定义:

$$\mu_i^t = \frac{|P_i|}{N}, \pi_i^t = \frac{|P_{k+1}|}{N}, \nu_i^t = 1 - \mu_i^t - \pi_i^t \quad (2)$$

式中: $i = 1, 2, \dots, k, \mu_i^t$ 为隶属度,表示第 t 代中所有粒子隶属于第 i 个子区间的程度, $\mu_i^t \in [0, 1]$; π_i^t 为犹豫度, $\pi_i^t \in [0, 1]$; ν_i^t 为所有粒子不属于第 i 个子区间的程度, $\nu_i^t \in [0, 1]$ 。

归一化操作如下:先求出群体所有粒子适应度值的最小值 f_{\min} 和最大值 f_{\max} ,对于 $\forall i \in N$,都有 $f^t(x_i) = (f(x_i) - f_i^{\min}) / (f_i^{\max} - f_i^{\min})$ 处理,使每个粒子的适应度值归一化后都在区间 $[0, 1]$ 。

定义 2 直觉模糊熵^[12]:设 H^t 是种群的直觉模糊熵,其定义如下:

$$H^t = \frac{1}{k} \sum_{i=1}^k \frac{\min(\mu_i^t, \nu_i^t) + \pi_i^t}{\max(\mu_i^t, \nu_i^t) + \pi_i^t} \quad (3)$$

式中: $H^t \in [0, 1]$,当所有粒子收敛于同一子区间时, $k=1, H^t=0$;当粒子均匀分散在各子区间,即 $k=N$ 时, $H^t=1$ 。而种群中粒子、在子区间中分散的越均匀, H^t 的值越大,反之,则越小。

2 基于 IFE 的粒子群模拟退火算法

2.1 基于 IFE 的惯性权重变化

在粒子群优化算法中,惯性权重(ω^t)的大小表示自身历史信息对现有粒子的影响程度,其值越大则能提高粒子的全局搜索性能,越小则有助于粒子进行局部搜索。在粒子群算法求解组合优化问题时,由于问题具有离散性,进化的方向难以控制。而采用基于直觉模糊熵的自适应惯性权重,可以有效地搜索到全局最优解, ω 的变化公式如下:

$$\omega^t = \omega_{\max} - (\omega_{\max} - \omega_{\min})(1 - H^t) \quad (4)$$

式中: $\omega_{\max}, \omega_{\min}$ 分别为惯性权重最大值和最小值; H^t 为当前种群的熵值大小。由于 $H^t \in [0, 1]$,使得 ω 在 ω_{\max} 和 ω_{\min} 之间变化,当 H^t 接近 0 时,有助于算法进行局部搜索,当 H^t 接近 1 时,有助于算法进行全局搜索。本文 $\omega_{\max}=0.9, \omega_{\min}=0.4$ 。

2.2 粒子群算法更新公式

粒子群算法多用于在连续的空间中求解问题,而 0-1 背包是组合优化问题,具有离散性质,因而修

改 PSO 算法更新公式如下:设第 i 个粒子在 D 维空间中的表示为 $x_i = (x_{i1}, x_{i2}, \dots, x_{iD})$, 此粒子经历的历史最优位置记为 $p_i = (p_{i1}, p_{i2}, \dots, p_{iD})$, 即局部最优解 p_{best} 。在群体中所有粒子经历过的最优位置记为全局最优解 g_{best} 。粒子 i 的速度表示为 $v_i = (v_{i1}, v_{i2}, \dots, v_{iD})$ 。第 $t+1$ 次迭代时, 其第 i 个粒子的第 d 维($1 \leq d \leq D$)的速度和位置更新公式如下:

$$v_{id}^{t+1} = \omega^t v_{id}^t + c_1 r_1 (p_{best} - x_{id}^t) + c_2 r_2 (g_{best} - x_{id}^t) \quad (5)$$

$$v_{id}^{t+1} = \begin{cases} -v_{max}, & v_{id}^{t+1} < -v_{max} \\ v_{max}, & v_{id}^{t+1} > v_{max} \end{cases} \quad (6)$$

$$x_{id}^{t+1} = x_{id}^t + v_{id}^{t+1} \quad (7)$$

$$x_{id}^{t+1} = \begin{cases} 1, & x_{id}^{t+1} \geq 0.5 \\ 0, & x_{id}^{t+1} < 0.5 \end{cases} \quad (8)$$

式(5)中 c_1, c_2 为学习因子, 用来平衡个体和群体认知能力。 r_1, r_2 是分布在 $[0, 1]$ 上相互独立的随机数。设置 $c_1=0.8, c_2=0.8$ 。式(6)中 v_{max} 用以限制粒子的速度, 防止搜索发散。由于本文研究的是 0-1 背包问题, 粒子在各维度的值只能取 0 或 1。因此设置 $v_{max}=1$, 防止粒子位置波动过大, 难以收敛。式(7)为位置更新公式。式(8)则是将 x_{id}^{t+1} 转化为 0 或 1 的整数值。

2.3 模拟退火操作

模拟退火算法(SA)基本思想是在给定解和其局部领域随机产生的新解之间, 通过 Metropolis 接受准则使适应度较好的解被接受或者使适应度较差的解以一定的概率被接受。在粒子群算法的过程中, 算法每次迭代所产生的局部最优解不一定都满足问题中的约束条件。因此, 引入模拟退火机制对局部最优解进行优化搜索, 以期得到更多满足约束条件且适应值更好的局部最优解, 进而产生更优的全局最优解, 以引导种群的进化。

同时, 为了不使模拟退火中局部领域产生的新解与给定解相比变化过大而引起进化过程失控, 本文采用了一种交换机制来产生新解, 即在粒子群算法所产生的局部最优解 p_{best} 中, 随机选择一个解, 再随机选择此解的两位置进行交换得到新解 x_{best} , 如假设粒子维数为 $D=6$, 所选旧解为 $p_{best}=101101$, 随机选取位置 2 和 4, 通过交换机制得到新解 $x_{best}=111001$ 。

2.4 基于 IFE 的变异操作

由于粒子群算法随着迭代次数的增加易陷入局部最优, 而熵值 H^t 的大小表明当前种群的收敛程度, 因而通过种群熵值 H^t 对种群进行变异操作, 可

以一定程度上增加种群的多样性, 减少陷入局部最优的可能。其操作如下: 当 $H^t < \alpha$ 时, 开始进行变异操作, 而后对种群中的每个粒子, 根据 $rand$ 是否小于变异概率 $P=(1-H^t)$ 判断, 若 $rand < P$, 则对该粒子进行变异, 即随机生成满足维数大小的粒子更换此粒子; 否则, 不对该粒子进行变异操作。本文参数设置 $\alpha=0.5$ 。

2.5 IFEPSO-SA 算法步骤

IFEPSO-SA 算法的详细步骤如下:

Step 1 设置算法参数, 其中种群规模为 $size$, 迭代次数为 $MaxIt$, 当前迭代次数 $t=1$, 初始熵值 $H^t=1$ 。

Step 2 随机产生规模为 $size$ 大小的种群, 依次计算出种群中每个粒子的适应度值 $f(x_i)$ 和质量大小 $c(x_i)$, 进而产生第 1 次迭代的全局最优解 g_{best} 和局部最优解 p_{best} 。

Step 3 进入迭代循环, 通过式(4)~(7)更新每个粒子的速度和位置, 同时按粒子的历史最佳位置求出局部最优解 p_{best} 。

Step 4 通过第 2.3 节对当前的局部最优解 p_{best} 进行模拟退火操作和交换操作, 得到更优的局部最优解 p_{best} , 而后求出全局最优解 g_{best} 。

Step 5 通过式(2)、式(3)求出种群的熵值 H^t , 而后按照熵值 H^t 大小对种群进行第 2.4 节的变异操作。

Step 6 $t=t+1$, 当 $t > MaxIt$ 时, 迭代循环结束, 输出每次迭代时的全局最优解和适应度值。否则, 返回步骤 **Step 3**。

3 测试结果与分析

3.1 测试数据

为了测试算法 IFEPSO-SA 在处理不同规模的 0-1 背包问题上的寻优性能, 引入文献[13]中的数据, 选择规模从 10~100 的 9 个经典 0-1 背包问题数据($f_1 \sim f_9$)来对算法进行测试, 数据见表 1。

3.2 测试结果与分析

算法的运行环境为: Intel(R) Core(TM) i7-4790 CPU 处理器和 8G 内存的计算机以及 Matlab 2014 的测试软件。本文种群规模 $size$ 和迭代次数 $MaxIt$ 设置为 100/200, 图 1 表示 IFEPSO-SA 算法与未引入模拟退火和交换操作的 IFEPSO 算法在求解问题时的熵值变化图, 表 2 表示算法对表 1 中的每一组数据都独立运行 20 次所得到的最优解状况。

表1 测试数据

Tab. 1 Test data

编号	维数	数据(c, p, V)	最优解
1	10	$c = [95, 4, 60, 32, 23, 72, 80, 62, 65, 46]; p = [55, 10, 47, 5, 4, 50, 8, 61, 85, 87]; V = 269;$ $c = [56, 358, 531, 80, 874, 050, 47, 987, 304, 89, 596, 240, 74, 66, 048, 85, 894, 345, 51, 353, 496,$ 1.498 459, 36. 445 204, 16. 589 862, 44. 56 923, 0. 466 9, 37. 788 018, 57. 118 442, 60. 716	295/269
2	15	$575]; p = [0, 125, 126, 19, 330, 424, 58, 500, 931, 35, 029, 145, 82, 284, 005, 17, 410, 810, 71, 050$ 142, 30. 399 487, 9. 140 294, 14. 731 285, 98. 852 504, 11. 908 322, 0. 891 140, 53. 166 295, 60. 176 397]; V = 375;	481. 07/354. 96
3	20	$c = [92, 4, 43, 83, 84, 68, 92, 82, 6, 44, 32, 18, 56, 83, 25, 96, 70, 48, 14, 58]; p = [44, 46, 90, 72,$ 91, 40, 75, 35, 8, 54, 78, 40, 77, 15, 61, 17, 75, 29, 75, 63]; V = 878;	1 024/871
4	23	$c = [983, 982, 981, 980, 979, 978, 488, 976, 972, 486, 486, 972, 972, 485, 485, 969, 966, 483, 964,$ 963, 961, 958, 959]; p = [981, 980, 979, 978, 977, 976, 487, 974, 970, 485, 485, 970, 970, 484, 484, 976, 974, 482, 962, 961, 959, 958, 857]; V = 10 000;	9 767/9 768
5	50	$c = [80, 82, 85, 70, 72, 70, 66, 50, 55, 25, 50, 55, 40, 48, 50, 32, 22, 60, 30, 32, 40, 38, 35, 32, 25,$ 28, 30, 22, 50, 30, 45, 30, 60, 50, 20, 65, 20, 25, 30, 10, 20, 25, 15, 10, 10, 10, 4, 4, 2, 1]; p = [220, 208, 198, 192, 180, 180, 165, 162, 160, 158, 155, 130, 125, 122, 120, 118, 115, 110, 105, 101, 100, 100, 98, 96, 95, 90, 88, 82, 80, 77, 75, 73, 72, 70, 69, 66, 65, 63, 60, 58, 56, 50, 30, 20, 15, 10, 8, 5, 3, 1]; V = 1 000;	3 103/1 000
6	50	$c = [438, 754, 699, 587, 789, 912, 819, 347, 511, 287, 541, 784, 676, 198, 572, 914, 988, 4, 355,$ 569, 144, 272, 531, 556, 741, 489, 321, 84, 194, 483, 205, 607, 399, 747, 118, 651, 806, 9, 607, 121, 370, 999, 494, 743, 967, 718, 397, 589, 193, 369]; p = [72, 490, 651, 833, 883, 489, 359, 337, 267, 441, 70, 934, 467, 661, 220, 329, 440, 774, 595, 98, 424, 37, 807, 320, 501, 309, 834, 851, 34, 459, 111, 253, 159, 858, 793, 145, 651, 856, 400, 285, 405, 95, 391, 19, 96, 273, 152, 473, 448, 231]; V = 11 258;	16 102/1 1231
7	60	$c = [135, 133, 130, 11, 128, 123, 20, 75, 9, 66, 105, 43, 18, 5, 37, 90, 22, 85, 9, 80, 70, 17, 60, 35,$ 57, 35, 61, 40, 8, 50, 32, 40, 72, 35, 100, 2, 7, 19, 28, 10, 22, 27, 30, 88, 91, 47, 68, 108, 10, 12, 43, 11, 20, 37, 17, 4, 3, 21, 10, 67]; p = [350, 310, 300, 295, 290, 287, 283, 280, 272, 270, 265, 251, 230, 220, 215, 212, 207, 203, 202, 200, 198, 196, 190, 182, 181, 175, 160, 155, 154, 140, 132, 125, 110, 105, 101, 92, 83, 77, 75, 73, 72, 70, 69, 66, 60, 58, 45, 40, 38, 36, 33, 31, 27, 23, 20, 19, 10, 9, 4, 1]; V = 2 400;	8 362/2 393
8	80	$c = [40, 27, 5, 21, 51, 16, 42, 18, 52, 28, 57, 34, 44, 43, 52, 55, 53, 42, 47, 56, 57, 44, 16, 2, 12, 9,$ 40, 23, 56, 3, 39, 16, 54, 36, 52, 5, 53, 48, 23, 47, 41, 49, 22, 42, 10, 16, 53, 58, 40, 1, 43, 56, 40, 32, 44, 35, 37, 45, 52, 56, 40, 2, 23, 49, 50, 26, 11, 35, 32, 34, 58, 6, 52, 26, 31, 23, 4, 52, 53, 19]; p = [199, 194, 193, 191, 189, 178, 174, 169, 164, 164, 161, 158, 157, 154, 152, 152, 149, 142, 131, 125, 124, 124, 124, 122, 119, 116, 114, 113, 111, 110, 109, 100, 97, 94, 91, 82, 82, 81, 80, 80, 80, 79, 77, 76, 74, 72, 71, 70, 69, 68, 65, 65, 61, 56, 55, 54, 53, 47, 47, 46, 41, 36, 34, 32, 32, 30, 29, 29, 26, 25, 23, 22, 20, 11, 10, 9, 5, 4, 3, 1]; V = 1 173;	5 183/1 170
9	100	$c = [54, 95, 36, 18, 4, 71, 83, 16, 27, 84, 88, 45, 94, 64, 14, 80, 4, 23, 75, 36, 90, 20, 77, 32, 58, 6,$ 14, 86, 84, 59, 71, 21, 30, 22, 96, 49, 81, 48, 37, 28, 6, 84, 19, 55, 88, 38, 51, 52, 79, 55, 70, 53, 64, 99, 61, 86, 1, 64, 32, 60, 42, 45, 34, 22, 49, 37, 33, 1, 78, 43, 85, 24, 96, 32, 99, 57, 23, 8, 10, 74, 59, 89, 95, 40, 46, 65, 6, 89, 84, 83, 6, 19, 45, 59, 26, 13, 8, 26, 5, 9]; p = [297, 295, 293, 292, 291, 289, 284, 284, 283, 283, 281, 280, 279, 277, 276, 275, 273, 264, 260, 257, 250, 236, 236, 235, 235, 233, 232, 232, 228, 218, 217, 214, 211, 208, 205, 204, 203, 201, 196, 194, 193, 193, 192, 191, 190, 187, 187, 184, 184, 184, 181, 179, 176, 173, 172, 171, 160, 128, 123, 114, 113, 107, 105, 101, 100, 100, 99, 98, 97, 94, 94, 93, 91, 80, 74, 73, 72, 63, 63, 62, 61, 60, 56, 53, 52, 50, 48, 46, 40, 40, 35, 28, 22, 22, 18, 15, 12, 11, 6, 5]; V = 3 820;	15 170/3 818

图 1 熵值变化反映了种群的收敛情况,由图可知,IFEPSO-SA 算法的熵值基本维持在 $[0, 0.5]$ 的区间内,这说明算法中的模拟退火操作有效地提高了算法的局部探索能力,使种群保持着一定的局部收敛程度。同时,随着迭代次数的增加,熵值在上下波动,说明算法的变异操作很好地维持了种群的多样性,使种群具有很好的全局搜索能力,并逐渐向着全局最优解的方向收敛。而 IFEPSO 算法的熵值波动较大,说明加入了熵变异操作的粒子群算法虽然维持了种群的多样性,但也牺牲了局部搜索能力。

从表 2 中可知,IFEPSO-SA 算法在求解维数比较小的 0-1 背包问题时能够有效地获得最优解,如对于 $f_1 \sim f_4$ 4 个维数较小的 0-1 背包问题,算法都能准确找到最优解,而在求解维数比较大的背包问题($f_5 \sim f_9$)时能以一定的概率获得最优解,如本文算法在求解 f_6 时,20 次测试中有 11 次得到给定的最优解,同

时本文算法获得的最差解都优于许多文献中算法所求得的最好解,如求解 f_7 时,本文算法所得的最差解 8 356/2 395 优于文献[19]所得最好解 7 775/2 371, f_5 、 f_8 以及 f_9 亦是如此,说明算法可以有效地解决背包问题。而且本文算法所得的最差值和最好值之间相差不大,说明算法具有很好的鲁棒性和寻优能力。

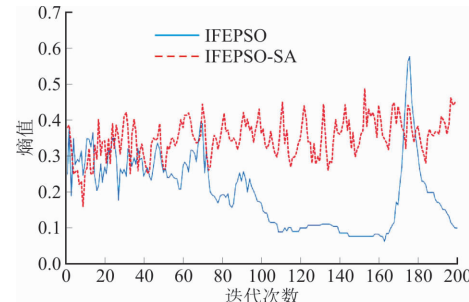


图 1 测试 f_9 时的直觉模糊熵值变化

Fig. 1 The change of intuitionistic fuzzy entropy when testing f_9

表 2 IFEPSO-SA 算法测试结果及其对比

Tab. 2 IFEPSO-SA test result and comparison

f	维数	最好	最差	平均值	命中次数	文献[14~20]提供的最优解
1	10	295/269	295/269	295	20	295/269(模糊粒子群算法 ^[14])
2	15	481.07/354.96	481.07/354.96	481.07	20	481.07/354.96(自适应和声搜索算法 ^[15])
3	20	1 024/871	1 024/871	1 024	20	1 013/851(粒子群算法 ^[14])
4	23	9 767/9 768	9 767/9 768	9 767	20	9 757/9 777(降维替换算法 ^[16])
5	50	3 103/1 000	3 085/1 000	3 090.03	5	3 082/—(模拟退火算法 ^[17])
6	50	16 102/11 231	15 986/11 242	16 073	11	16 052/—(二进制混合粒子群算法 ^[18])
7	60	8 362/2 393	8 356/2 395	8 361.4	18	7 775/2 371(基于贪心策略改进的遗传算法 ^[19])
8	80	5 183/1 170	5 167/1 171	5 178.9	8	5 107/1 167(混合粒子群算法 ^[20])
9	100	15 170/3 818	15 141/3 807	15 162	10	15 080/3 819(混合离散粒子群算法 ^[20])

3.3 算法比较分析

为了进一步测试 IFEPSO-SA 算法在不同规模的 0-1 背包问题下的求解效果,选择 IFEPSO 算法、粒子群算法(PSO)和模拟退火(SA)算法作为对比对象。算法参数设置为:PSO 算法中 $size = 100$, $MaxIt = 200$,其余部分沿用本文 PSO 部分中的参数设置;SA 算法中截止温度设置为 0.000 000 1,其余参数设置与本文 SA 部分中的参数设置一样。设计实验数据为: n 种物品,质量 c_i 和价值 p_i ($i=1, 2, \dots, n$)在 $[1, 100]$ 区间内随机生成,背包容量为所有物品总质量的 0.8 倍,即 $C = 0.8 \sum_{i=1}^n c_i$ 。

图 2、图 3 分别表示维数 n 为 50 和 100 时,4 种算法的最优值变化曲线图。从图 2、图 3 可知,在不同维数下,IFEPSO-SA 算法一直能取得最高的最优解。而且算法收敛速度较快,迭代次数不超过 50 次,就能取得非常接近最优解的次优解。这说明 IFEPSO-SA 算法通过模拟退火操作能找到更好的局部最优解和

全局最优解,进而使种群在粒子群算法的引导下快速进化。相比之下,SA 算法会迅速陷入局部收敛。PSO 算法只能通过自身的每次迭代产生局部最优解,进化速度较慢,而且也容易陷入局部最优。对于引入直觉模糊熵的 IFEPSO 算法,虽然变异操作拓展了种群的多样性,但也影响了算法的收敛速度。综上,IFEPSO-SA 算法能在快速进化过程中寻找到最优解,从效率和寻优结果来看都优于其他 3 类算法。

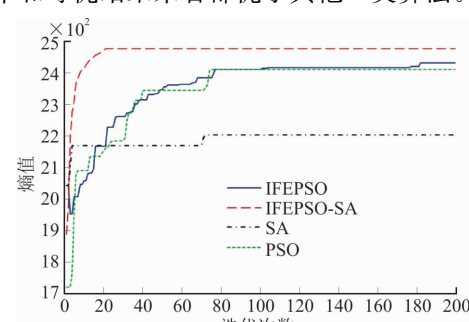
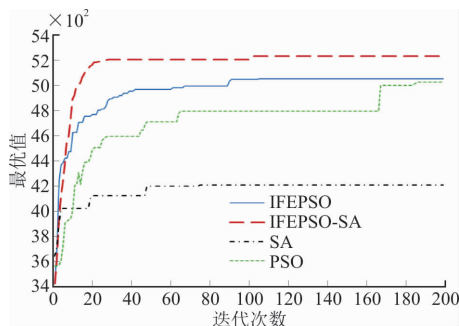


图 2 $n=50$ 最优值变化

Fig. 2 The change of optimal value ($n=50$)

图 3 $n=100$ 最优值变化Fig. 3 The change of optimal value ($n=100$)

4 结语

本文提出了一种基于直觉模糊熵的粒子群-模拟退火算法来求解经典的 0-1 背包问题, 算法以种群的直觉模糊熵描述当前的种群状态, 进而通过基于熵值的自适应惯性权重变化和变异操作, 控制种群的收敛程度, 增加种群的多样性; 同时, 通过交换操作和模拟退火机制, 产生更好的局部最优解和全局最优解, 使算法有更强的寻优能力。在大量实验的基础上, 相对于现有许多研究背包问题的算法以及 IFEPSO 算法、PSO 算法和 SA 算法而言, IFEPSO-SA 算法有更优的性能。虽然在解决大规模的背包问题上, IFEPSO-SA 算法只能以一定的概率找到最优解, 求解效率有所下降, 但即使是找到的次优解与给定最优解之间相差不大, 而且算法能有效的求解小规模的背包问题。

参考文献(References):

- [1] FAYARD D, PLATEAU G. Resolution of the 0-1 Knapsack Problem Comparison of Methods [J]. Mathematical Programming, 1975, 8(1): 272-307.
- [2] 熊小华, 宁爱兵, 马良. 多目标 0-1 背包问题的元胞竞争决策算法 [J]. 计算机应用研究, 2010, 27(10): 3680-3682.
- XIONG X H, NING A B, MA L. Cellular Competitive Decision Algorithm for Multi-Objective 0-1 Knapsack Problem [J]. Application Research of Computers, 2010, 27(10): 3680-3682. (in Chinese)
- [3] 贺毅朝, 宋建明, 张敬敏, 等. 利用遗传算法求解静态与动态背包问题的研究 [J]. 计算机应用研究, 2015, 32(4): 1011-1015.
- HE Y C, SONG J M, ZHANG J M, et al. Research on Genetic Algorithms for Solving Static and Dynamic Knapsack Problems [J]. Application Research of Computers, 2015, 32(4): 1011-1015. (in Chinese)
- [4] 汪禹喆, 雷英杰, 周林, 等. 直觉模糊离散粒子群算法 [J]. 控制与决策, 2012, 27(11): 1735-1740.
- WANG Y Z, LEI Y J, ZHOU L, et al. Intuitionistic Fuzzy Discrete Particle Swarm Algorithm [J]. Control and Decision, 2012, 27(11): 1735-1740. (in Chinese)
- [5] 廖灿星, 李行善, 张平, 等. 一种求解背包问题的正态分布蚁群算法 [J]. 系统仿真学报, 2011, 23(6): 1156-1160.
- LIAO C X, LI X S, ZHANG P, et al. Improved Ant Colony Algorithm Base on Normal Distribution for Knapsack Problem [J]. Journal of System Simulation, 2011, 23(6): 1156-1160. (in Chinese)
- [6] 于世为, 魏一鸣, 诸克军. 基于粒子群-遗传的混合优化算法 [J]. 系统工程与电子技术, 2011, 33(7): 1647-1652.
- YU S W, WEI Y M, ZHU K J. Hybrid Optimization Algorithms Based on Particle Swarm Optimization and Genetic Algorithm [J]. Systems Engineering and Electronics, 2011, 33(7): 1647-1652. (in Chinese)
- [7] KENNEDY J, EBERHART R C. Particle Swarm Optimization [C]// Proc of IEEE International Conference on Neural Networks. Perth, WA, Australia: IEEE, 1995: 1942-1948.
- [8] KENNEDY J, EBERHART R C. A Discrete Binary Version of the Particle Swarm Optimization [C]// Proceeding of the Conference on System, Man, and Cybernetics. NJ, USA: IEEE Service Center, 1997: 4104-4109.
- [9] 丁铸, 马大为, 汤铭端, 等. 基于禁忌退火粒子群算法的火力分配 [J]. 系统仿真学报, 2006, 18(9): 2480-2483.
- DING Z, MA D W, TANG M D, et al. A Hybrid Search Algorithm of Tabu Search and Annealing Particle Swarm Optimization for Weapon-Target Assignment [J]. Journal of System Simulation, 2006, 18(9): 2480-2483. (in Chinese)
- [10] ZADEH L A. Fuzzy Sets [J]. Information and Control, 1965, 8(3): 338-353.
- SZMIDT E, KACPRZYK J. Entropy for Intuitionistic Fuzzy Sets [J]. Fuzzy Sets and Systems, 2001, 118(3): 467-477.
- [12] 王毅, 雷英杰. 一种直觉模糊熵的构造方法 [J]. 控制与决策, 2007, 22(12): 1390-1394.
- WANG Y, LEI Y J. A Technique for Constructing Intuitionistic Fuzzy Entropy [J]. Control and Decision

- sion, 2007, 22(12): 1390-1394. (in Chinese)
- [13] 吴虎胜, 张凤鸣, 战仁军, 等. 求解 0-1 背包问题的二进制狼群算法 [J]. 系统工程与电子技术, 2014, 36(8): 1660-1667.
- WU H S, ZHANG F M, ZHANG R J, et al. A Binary Wolf Pack Algorithm for Solving 0-1 Knapsack Problem [J]. Systems Engineering and Electronics, 2014, 36(8): 1660-1667. (in Chinese)
- [14] 柳寅, 马良. 0-1 背包问题的模糊粒子群算法求解 [J]. 计算机应用研究, 2011, 28 (11): 4026-4027, 4031.
- LIU Y, MA L. Solving 0-1 Knapsack Problem by Fuzzy Particle Swarm Optimization [J]. Application Research of Computers, 2011, 28(11): 4026-4027, 4031. (in Chinese)
- [15] ZHANG X G, HUANG S Y, HU Y, et al. Solving 0-1 Knapsack Problems Based on Amoeboid Organism Algorithm [J]. Applied Mathematics and Computation, 2013, 219(19): 9959-9970.
- [16] 高天, 王梦光. 特殊一维背包问题的降维替换算法研究 [J]. 系统工程理论方法与应用, 2002, 11(2): 125-130.
- GAO T, WANG M G. The Research for the Reductive Dimension and Replacive Variable Algorithm of Special Restrict 0-1 ILP [J]. Systems Engineering-Theory Methodology Applications, 2002, 11 (2): 125-130. (in Chinese)
- [17] 张盛意, 蔡之华, 占志刚. 基于改进模拟退火的遗传算法求解 0-1 背包问题 [J]. 微电子学与计算机, 2011, 28(2): 61-64.
- ZHANG S Y, CAI Z H, ZHAN Z G. Solving 0-1 Knapsack Problem Based on Genetic Algorithm with Improved Simulated Annealing [J]. Microelectronics & Computer, 2011, 28(2): 61-64. (in Chinese)
- [18] 罗健文. 基于交叉操作的二进制混合粒子群算法求解背包问题 [J]. 中南林业科技大学学报, 2011, 31 (9): 170-174.
- LUO J W. Binary Hybrid Particle Swarm Optimization Algorithm Base on Crossover Operation for Solving Knapsack Problem [J]. Journal of Central South University of Forestry & Technology, 2011, 31(9): 170-174. (in Chinese)
- [19] 胡中华, 赵敏. 引入侦查子群的蚁群算法求解 0/1 背包问题 [J]. 贵州师范大学学报(自然科学版), 2009, 27(3): 82-88.
- HU Z H, ZHAO M. Using Ant Colony Optimization Algorithm with Scout Subgroup to Solve 0/1 Knapsack Problem [J]. Journal of Guizhou Normal University (Natural Sciences Edition), 2009, 27(3): 82-88. (in Chinese)
- [20] 刘建芹, 贺毅朝, 顾茜茜. 基于离散微粒群算法求解背包问题研究 [J]. 计算机工程与设计, 2007, 28 (13): 3189-3191.
- LIU J Q, HE Y C, GU Q Q. Solving Knapsack Problem Based on Discrete Particle Swarm Optimization [J]. Computer Engineering and Design, 2007, 28(13): 3189-3191. (in Chinese)

(编辑: 徐楠楠)